

## บทที่ 3

### ระเบียบการวิจัย

#### 1. ประชากร

การวิจัยนี้ศึกษาจากประชากรจำนวน 402 คน เป็นนักเรียนจامعةบาลทหารเรือ (ชาย) จำนวน 205 คน และนักศึกษาพยาบาลทหารเรือ (หญิง) จำนวน 197 คน ศึกษาอยู่ ณ โรงพยาบาลสมเด็จพระปีนเกล้า โดยมีอายุตั้งแต่ 16 - 25 ปี

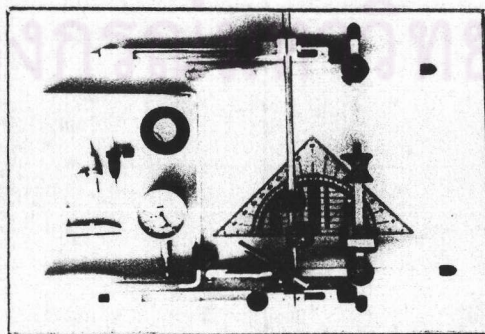
#### 2. กลุ่มตัวอย่าง

กลุ่มตัวอย่างได้คัดเลือกจากประชากรทั้งหมดมาจำนวน 60 คน แบ่งเป็นเพศชาย 30 คน และเพศหญิง 30 คน โดยการสุ่มตัวอย่างแบบเฉพาะเจาะจง (purposive sampling) ลักษณะของตัวอย่างเป็นคนที่ไม่เคยมีอาการทางคลินิกที่แสดงถึงความผิดปกติของ TMJ.

#### 3. การรวบรวมข้อมูล

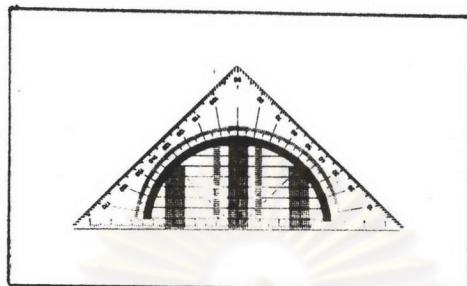
1. การเก็บข้อมูล (data collection) ใช้สถานที่ดำเนินการวิจัย ณ กองทัพกรรม โรงพยาบาลสมเด็จพระปีนเกล้า

2. การบันทึกข้อมูล (data recording) ใช้เครื่องมือ Axiograph และองค์ประกอบของเครื่องมือ (รูปที่ 54)



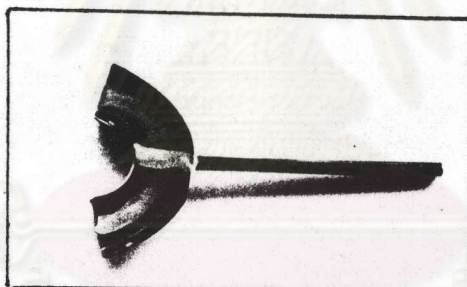
รูปที่ 54 แสดงเครื่องมือ Axiograph และองค์ประกอบของเครื่องมือ

เครื่องมือที่ใช้ประกอบการวิจัยได้แก่ ไม้บรรทัดสามเหลี่ยม ชื่นมี scale วางแผนซึ่งจากไว้ เพื่อนำมาตัดตามแน่น R.H.A. บนใบหน้า สามารถอ่านค่าได้ละ เอียงถึง 1 มม. (รูปที่ 55)



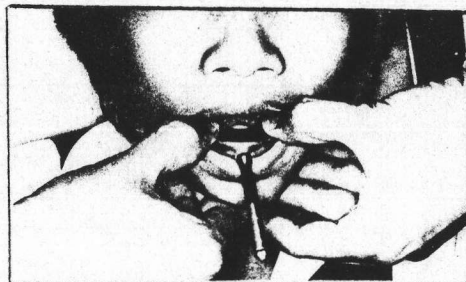
รูปที่ 55 แสดงไม้บรรทัดสามเหลี่ยมที่ใช้ประกอบการวิจัย

กลุ่มตัวอย่างจะถูกศึกษาและบันทึกข้อมูลบนเก้าอี้ทำฟันซึ่ง เอนประมาณ 60 - 70 องศา เริ่มจากการไล่ฟันเข้าไปใน clutch เพื่อให้แกะออกจากฟันได้ง่ายภายหลังที่เสร็จการบันทึกข้อมูล (รูปที่ 56)



รูปที่ 56 แสดง clutch ซึ่งมีฟันอยู่ด้านใน

ใช้ orthodontic plaster หรือ plaster of Paris ใส่ใน clutch และนำ clutch ที่เตรียมไว้ใส่บนฟันล่าง (รูปที่ 57)



รูปที่ 57 แสดงการใส่ clutch ลงในฟันล่าง

ให้ผู้ถูกวิจัยกัดสาลีสีลงบน clutch เบา ๆ ในตำแหน่งที่คนไข้รู้สึกสบายที่สุด เพื่อลดความตึงของกล้ามเนื้อและเอ็นยีคข้อต่อ ในขณะที่รอให้ plaster แข็งตัวก็เริ่มประกอบ upper part โดยจัดเครื่องมือให้วางอยู่บนดังจมูก ส่วนของแผ่นกราฟจะถูกปรับจนอยู่พอดี กับหน้าท้องและแนบกับผิวน้ำมากที่สุด หลังจากนั้นปรับ pointer ให้อยู่ในระดับขอบล่างของเบ้าตา (Orbitale) เพื่อใช้เป็น anterior reference point (รูปที่ 58)



รูปที่ 58 แสดง upper part ที่ประกอบเรียบร้อย

ประกอบ lower part เข้ากับ clutch ปรับ axis pointer จนอยู่ในบริเวณของกระดาษกราฟ (รูปที่ 59)



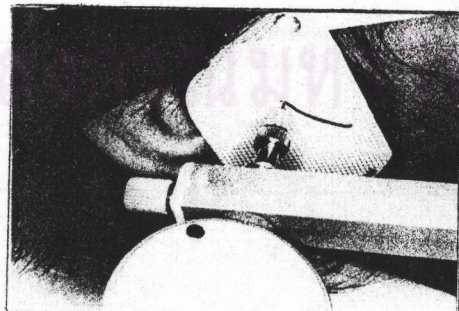
รูปที่ 59 แสดง lower part ที่ประกอบเรียบร้อย

ผู้ปฏิริจัยจะได้รับคำแนะนำและฝึกให้ยืนคงอ้อมาให้สุดและนำขากรรไกรโดยกลับไปข้างหลังให้สุดเอง จากนั้นผู้ปฏิริจัยจะใช้ปลายนิ้วหัวแม่มือวางบนปลายคาง และนิ้วซึ้งของอยู่ใต้คางโดยควบคุมให้ขากรรไกรล่างเคลื่อนที่เป็นส่วนของวงกลม โดยมี condyle อยู่ในตำแหน่ง R.H.A. ซึ่งเป็นตำแหน่ง retruded position และมีความตึงของกล้ามเนื้อและเอ็นยืดหยุ่นต่อเล็กน้อย (รูปที่ 60)



รูปที่ 60 แสดงตำแหน่งและลักษณะการควบคุมขณะพากขากรรไกรล่างไปยังตำแหน่ง R.H.A.

ที่ตำแหน่งนี้ให้ผู้ปฏิริจัยอ้าปากและทุบปากในขอบเขตไม่เกิน 20 - 25 มม. ปรับ axis pointer ให้ตรงกับตำแหน่ง R.H.A. ซึ่งสังเกตได้จากการที่ pointer หมุนนิ่งอยู่ กับที่ในขณะที่ผู้ปฏิริจัยอ้าและทุบปาก (tapping) เมื่อได้ตำแหน่ง R.H.A. แล้ว เปลี่ยน axis pointer เป็นเครื่องมือที่ใช้วัดเส้นทางเดินของ condyle โดยเริ่มจากตำแหน่งของ condyle ในขณะผู้ปฏิริจัยอ้าปากกว้างมากที่สุด และทุบปากจน condyle มาถึงตำแหน่ง R.H.A. (รูปที่ 61)



รูปที่ 61 แสดงเส้นทางเดินของ condyle ที่ได้จากเครื่องมือ

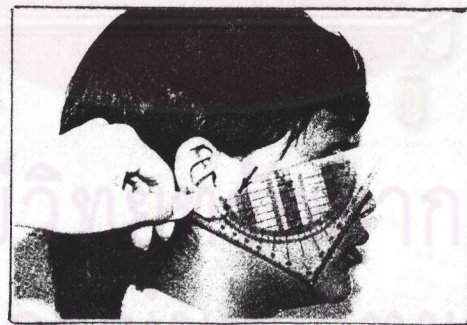
จุด (mark) ตำแหน่ง R.H.A. บนผิวน้ำหลังจากถอน upper part ออกแล้ว  
(รูปที่ 62)



รูปที่ 62 แสดงตำแหน่ง R.H.A. บนผิวน้ำ

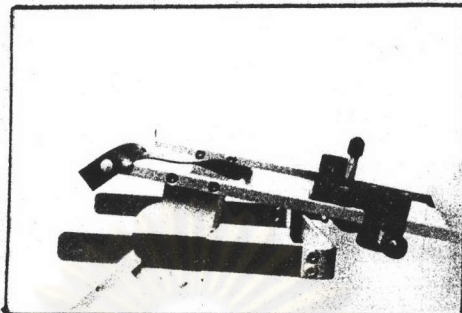
### 3. วิธีการวัด (Measurements)

การวัดตำแหน่ง R.H.A. นั้นจะใช้ตำแหน่งที่คนไข้นั่งหัวตรง ตามของทรงไม่พิงศีรษะ แกนอ้างอิงที่ใช้คือ tragus - canthus line เครื่องมือที่ใช้เป็นไม้จาก โดยวัดระยะห่างจาก tragus มาตามเส้น tragus - canthus line เป็นค่า X และระยะห่างในแนวตั้งจากกับเส้น tragus - canthus line เป็นค่า Y สามารถอ่านได้ละ เอียงสิ่ง 1 มม. นอกจากนี้ในกรณีที่ tragus มีเกินหนึ่งตัวจะใช้ตัวล่างซึ่งเด่นชัดกว่า (รูปที่ 63)



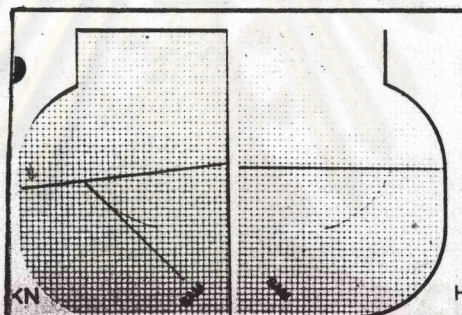
รูปที่ 63 แสดงวิธีการวัดตำแหน่ง R.H.A.

การรัดค่า C.G. เริ่มจากการนำ upper part มาวางเส้น axis - orbital plane (รูปที่ 64)

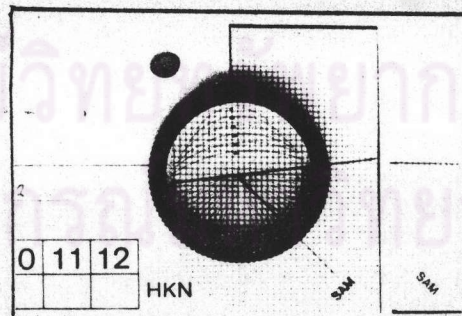


รูปที่ 64 แสดงการวาง axis - orbital plane

ลากเส้นสัมผัสกับเส้นทางเดินของคอนไอล์ (รูปที่ 65) และอ่านค่ามุม C.G. จากเครื่องมือชี้งอยู่ในชุด Axiograph ได้ค่าละ เอียงตึง 1 องศา (รูปที่ 66)



รูปที่ 65 แสดงมุมคอนไอล์ร์ ไกด์แทนซ์ที่ได้จากเครื่องมือ



รูปที่ 66 แสดงการวัดค่ามุม C.G.

#### 4. ตัวแปร (Variable)

ตัวแปรอิสระ (Independent variables) ได้แก่ เชื้อชาติ, พัฒนารูป, เพศ,  
รูปโครงสร้างของใบหน้า, ชนิดของ face bow, แกนอังอิง, ความแตกต่างระหว่างด้านขวา  
และด้านซ้าย และ rotating hinge axis's idea

ตัวแปรตาม (Dependent variables) ได้แก่ ตัวแหน่ง R.H.A. และค่ามุม  
C.G.

#### 5. การวิเคราะห์ข้อมูล

1. การหาตัวแหน่ง R.H.A. และค่า C.G. ได้จากค่าเฉลี่ย, ส่วนเบี่ยงเบน  
มาตรฐาน, ความคลาดเคลื่อนมาตรฐาน และสัมประสิทธิ์การกระจาย
2. การเปรียบเทียบตัวแหน่ง R.H.A. และค่า C.G. ระหว่างด้านซ้ายและด้านขวา  
ทดสอบโดยใช้สถิติ t (t - test)
3. การเปรียบเทียบตัวแหน่ง R.H.A. และค่า C.G. ระหว่างเพศ ทดสอบโดยใช้  
สถิติ t (t - test)
4. การเปรียบเทียบตัวแหน่ง R.H.A. และค่า C.G. กับค่าประมาณที่ใช้ปฏิบัติ  
วิเคราะห์โดยการนำค่าประมาณนั้นมาเปรียบเทียบกับค่าเฉลี่ย และส่วนเบี่ยงเบนมาตรฐานที่ได้  
จากข้อ 1 นอกจากนี้ใช้วิธีการนำตัวแหน่ง R.H.A. ที่ได้จากการวิจัยมาแสดงบนแผนกราฟ เพื่อ  
หาจำนวนของตัวแหน่งเหล่านี้ที่อยู่ภายในขอบเขตรัศมี 5 มม. จากตัวแหน่งประมาณที่ใช้ปฏิบัติ

จุฬาลงกรณ์มหาวิทยาลัย